

Schémas de Boltzmann sur réseau d'ordre quatre entropiquement stables pour les systèmes hyperboliques

Thomas Bellotti, Philippe Helluy, Laurent Navoret

IRMA, Université de Strasbourg

30 mai 2024

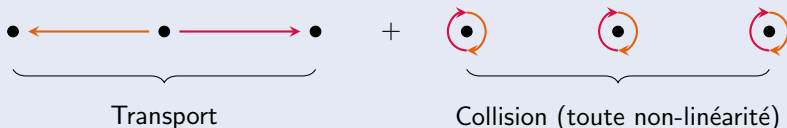
Mini-symposium "*Méthode de Lattice Boltzmann et applications en mécanique des fluides*"
46ème CANUM - Île de Ré

Défi

Méthodes de Boltzmann sur réseau d'ordre au plus deux (par sur-relaxation à l'équilibre).

But¹.

- Ordre élevé : quatre en l'occurrence !
- Structure essentielle des méthodes de Boltzmann sur réseau



- Propriétés favorables en termes d'entropie.

1. [B., Helluy, Navoret](#), Fourth-order entropy-stable lattice Boltzmann schemes for hyperbolic systems, *Soumis* (2024)

1 — Problème et cadre général

Problème continu et approximation par la relaxation

Système de M lois de conservation :

$$\partial_t \mathbf{u} + \sum_{j=1}^d \frac{\partial}{\partial x_j} \varphi^j(\mathbf{u}) = 0 \quad \text{et} \quad \nabla_{\mathbf{u}} \varphi^j \nabla_{\mathbf{u}} S = \nabla_{\mathbf{u}} G^j.$$

Équation de Boltzmann BGK à vitesse discrète [Bouchut, '99], [Aregba-Driollet, Natalini, '00] :

$$\partial_t \mathbf{f}_k + \sum_{j=1}^d V_k^j \frac{\partial \mathbf{f}_k}{\partial x_j} = -\frac{1}{\epsilon} (\mathbf{f}_k - \mathbf{f}_k^{\text{eq}}(\mathbf{u})), \quad k \in \llbracket 1, q \rrbracket \quad \left[\text{avec} \quad \mathbf{u} = \sum_{k=1}^q \mathbf{f}_k \right].$$

Contraintes : lien avec le système de lois de conservation

$$\mathbf{u} = \sum_{k=1}^q \mathbf{f}_k^{\text{eq}}(\mathbf{u}), \quad \varphi^j(\mathbf{u}) = \sum_{k=1}^q V_k^j \mathbf{f}_k^{\text{eq}}(\mathbf{u}), \quad j \in \llbracket 1, d \rrbracket.$$

Cela donne : $\mathbf{f}_k \approx \mathbf{f}_k^{\text{eq}}$ lorsque $\epsilon \rightarrow 0^+$.

Entropie et choix des vitesses discrètes

Entropie microscopique [Dubois, '13] :

$$\Sigma(\mathbf{f}_1, \dots, \mathbf{f}_k) = \sum_{k=1}^q s_k(\mathbf{f}_k),$$

où les entropies cinétiques $s_1, \dots, s_q : \mathbb{R}^M \rightarrow \mathbb{R}$ sont des fonctions convexes.
Lien avec l'entropie (de Lax) :

$$S(\mathbf{u}) = \min_{\mathbf{u} = \sum_{k=1}^{k=q} \mathbf{f}_k} \Sigma(\mathbf{f}_1, \dots, \mathbf{f}_k) = \Sigma(\mathbf{f}_1^{\text{eq}}(\mathbf{u}), \dots, \mathbf{f}_k^{\text{eq}}(\mathbf{u})).$$

Choix de vitesses discrètes :

- $d = 1$. Deux vitesses : $q = 2$, donc $D_1 Q_2^M$

$$\mathbf{V}_1 = V > 0, \quad \mathbf{V}_2 = -V < 0$$

- $d = 2$. Quatre vitesses : $q = 4$, donc $D_2 Q_4^M$.

$$\mathbf{V}_1 = (V, 0), \quad \mathbf{V}_2 = (0, V), \quad \mathbf{V}_3 = (-V, 0) \quad \mathbf{V}_4 = (0, -V).$$

Les contraintes ne donnent pas tout.

2 — Construction du schéma d'ordre quatre

Étape (I)

Schéma de Boltzmann sur réseau standard

- ordre deux
- asymétrique en temps

→
symétrisation en temps

Étape (II)

Schéma de Boltzmann sur réseau symétrique (ψ)

- ordre deux
- symétrique en temps

↓
composition

Étape (III)

Schéma de Boltzmann sur réseau d'ordre quatre (ϕ)

- ordre quatre
- symétrique en temps

On suit la démarche de [McLachlan, Quispel, '02] : symétrie.

(I) – Schéma de Boltzmann sur réseau standard

Discretisation d'espace : $\Delta x \mathbb{Z}^d$, avec $\Delta x > 0$. Pas de temps : $\Delta t > 0$.

$$\underbrace{\partial_t \mathbf{f}_k + \sum_{j=1}^d V_k^j \frac{\partial \mathbf{f}_k}{\partial x_j}}_{\text{transport}} = \underbrace{-\frac{1}{\epsilon} (\mathbf{f}_k - \mathbf{f}_k^{\text{eq}}(\mathbf{u}))}_{\text{relaxation}}, \quad k \in \llbracket 1, q \rrbracket.$$

- Transport : $\mathbf{T}(\Delta t)$. N'importe quel schéma consistant à un pas. Comme $\mathbf{V}_k = V \mathbb{Z}^d$, on choisit $V \Delta t / \Delta x = \kappa \in \mathbb{N}^*$.

$$\mathbf{f}_k(\Delta t, \mathbf{x}) = \mathbf{f}_k(0, \mathbf{x} - \mathbf{V}_k \Delta t) = \mathbf{f}_k(0, \mathbf{x} - \underbrace{\kappa \frac{\mathbf{V}_k}{V}}_{\in \mathbb{Z}^d} \Delta x), \quad \mathbf{x} \in \Delta x \mathbb{Z}^d.$$

- Relaxation : \mathbf{R}_ω . Méthode des trapèzes (gardée explicite) [Dellar, '13].

$$\mathbf{f}_k(\Delta t) = \frac{2\epsilon - \Delta t}{2\epsilon + \Delta t} \mathbf{f}_k(0) + \frac{2\Delta t}{2\epsilon + \Delta t} \mathbf{f}_k^{\text{eq}}(\mathbf{u}(0)) \xrightarrow{\epsilon \rightarrow 0} -\mathbf{f}_k(0) + 2\mathbf{f}_k^{\text{eq}}(\mathbf{u}(0)).$$

Plus généralement, une relaxation indépendante de Δt :

$$\mathbf{f}_k(\Delta t) = (1 - \omega) \mathbf{f}_k(0) + \omega \mathbf{f}_k^{\text{eq}}(\mathbf{u}(0)), \quad \text{avec} \quad \omega \in]0, 2].$$

(I) – Schéma de Boltzmann sur réseau standard

Remarque

- $\mathbf{R}_{\omega=2}$ est une involution : $\mathbf{R}_{\omega=2}\mathbf{R}_{\omega=2} = \mathbf{Id}$. On indiquera $\mathbf{R} := \mathbf{R}_{\omega=2}$. Réversible $\rightarrow \approx$ conservation de l'entropie.
- $\mathbf{R}_{\omega=1}$ est une projection : $\mathbf{R}_{\omega=1}\mathbf{R}_{\omega=1} = \mathbf{R}_{\omega=1}$. Irréversible $\rightarrow \approx$ dissipation de l'entropie.

$$\psi(\Delta t) = \mathbf{R}\mathbf{T}(\Delta t) \quad (\text{ou } \psi(\Delta t) = \mathbf{T}(\Delta t)\mathbf{R})$$

- Solveur d'ordre deux pour les lois de conservation [Dubois, '22] et [B., '23].
- Pas symétrique en temps \rightarrow on ne peut pas procéder comme dans [McLachlan, Quispel, '02]. On aimerait

$$\psi(\Delta t)\psi(-\Delta t) = \mathbf{Id} \quad \text{et} \quad \psi(0) = \mathbf{Id}.$$

- Formule de Strang [Strang, '68] :

$$\psi(\Delta t) = \mathbf{T}\left(\frac{\Delta t}{2}\right)\mathbf{RT}\left(\frac{\Delta t}{2}\right) \quad \rightarrow \quad \psi(0) = \mathbf{R} \neq \mathbf{Id}.$$

- Deux formules de Strang juxtaposées :

$$\psi(\Delta t) = \mathbf{T}\left(\frac{\Delta t}{4}\right)\mathbf{RT}\left(\frac{\Delta t}{4}\right)\mathbf{T}\left(\frac{\Delta t}{4}\right)\mathbf{RT}\left(\frac{\Delta t}{4}\right),$$

Cela nous convient. Cependant, il reste d'ordre deux seulement.

(III) – Schéma de Boltzmann sur réseau d'ordre quatre

Soit

$$\mathbf{y}'(t) = \mathbf{g}(\mathbf{y}(t)), \quad \text{donc} \quad \mathbf{y}(t) = e^{t\mathbf{g}}\mathbf{y}(0).$$

Si ψ symétrique et d'ordre deux, alors $\exists \mathbf{d}$ tel que (cf. [McLachlan, Quispel, '02])

$$\psi(\Delta t) = e^{\Delta t\mathbf{g} + \Delta t^3\mathbf{d}} + \mathcal{O}(\Delta t^5).$$

On pose :

$$\phi(\Delta t) = \psi(\alpha\Delta t)^n \psi(\beta\Delta t) \psi(\alpha\Delta t)^n,$$

tel que

$$\phi(\Delta t) = e^{\Delta t(2n\alpha + \beta)\mathbf{g} + \Delta t^3(2n\alpha^3 + \beta^3)\mathbf{d}} + \mathcal{O}(\Delta t^5).$$

Pour gagner l'ordre quatre, on impose :

$$\begin{aligned} 2n\alpha + \beta &= 1, \\ 2n\alpha^3 + \beta^3 &= 0. \end{aligned}$$

(III) – Schéma de Boltzmann sur réseau d'ordre quatre

- Pour $n = 1, 2, 3$, on a toujours $\alpha, \beta \in \mathbb{R} \setminus \mathbb{Q}$.
- Pour $n = 4$, on a $\alpha = 1/6 \in \mathbb{Q}$ et $\beta = -1/3 \in \mathbb{Q}$. Donc on va utiliser

$$\phi(\Delta t) = \psi\left(\frac{\Delta t}{6}\right)^4 \psi\left(-\frac{\Delta t}{3}\right) \psi\left(\frac{\Delta t}{6}\right)^4 \quad \text{avec} \quad V\Delta t/(24\Delta x) = \kappa \in \mathbb{N}^*$$

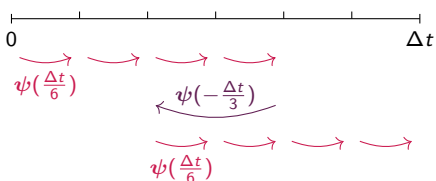
Proposition (Stabilité L^2)

Soient $d = 1$, $M = 1$, et $\varphi(u) = au$. Considérons un schéma D_1Q_2 . Alors, $\psi\left(\frac{\Delta t}{6}\right)$, $\psi\left(-\frac{\Delta t}{3}\right)$, et $\phi(\Delta t)$ sont L^2 -stables sous condition

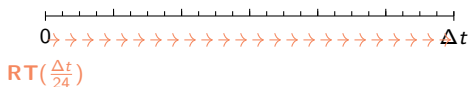
$$\frac{|a|}{V} = \frac{|a|\Delta t}{24\kappa\Delta x} < 1.$$

Des tests numériques préliminaires : ordre

LBM ordre 4 $\phi(\Delta t)$



LBM ordre 2



- Burgers 1D.
- Domaine $[0, 1]$ (périodique).
- Donnée initiale
 $u(t = 0, x) = \sin(2\pi x)$
 Équilibre
 $\mathbf{f}_k(t = 0) = \mathbf{f}_k^{\text{eq}}(\mathbf{u}(t = 0))$.
- Vitesse cinétique $V = 1.2$ et
 $T = 1/10$.

Δx	LBM ordre 2		LBM ordre 4	
	Erreur L^2	Ordre	Erreur L^2	Ordre
2.000E-03	8.592E-05		3.370E-06	
1.250E-03	3.358E-05	2.00	1.552E-06	1.65
7.813E-04	1.404E-05	1.86	1.742E-07	4.65
4.883E-04	5.494E-06	2.00	3.365E-08	3.50
3.053E-04	2.160E-06	1.99	5.184E-09	3.98
1.908E-04	7.799E-07	2.17	8.688E-10	3.80
1.193E-04	3.057E-07	1.99	1.221E-10	4.18
7.454E-05	1.287E-07	1.84	2.109E-11	3.74

Des tests numériques préliminaires : ordre

- Saint-Venant 1D avec gravité $g = 1$.
- Domaine $[0, 1]$ (périodique).
- Donnée initiale $(h, u)(t = 0, x) = (1/2 + 1/5 \sin(2\pi x), 0)$ à l'équilibre.
- Vitesse cinétique $V = 1.2$ et $T = 5/16$.

$$\text{Err-Estim}_h = \sqrt{\sum_{k \in \mathbb{Z}} \Delta x |h_{\Delta x}(T, k\Delta x) - h_{\Delta x/2}(T, k\Delta x)|^2},$$

$$\text{Err-Estim}_u = \sqrt{\sum_{k \in \mathbb{Z}} \Delta x |u_{\Delta x}(T, k\Delta x) - u_{\Delta x/2}(T, k\Delta x)|^2},$$

Δx	Hauteur h		Vitesse u	
	Err-Estim _{h}	Ordre	Err-Estim _{u}	Ordre
7.8125E-03	5.8333E-06		2.9538E-05	
3.9063E-03	7.9483E-07	2.88	1.6474E-06	4.16
1.9531E-03	1.0703E-07	2.89	4.8759E-08	5.08
9.7656E-04	7.6700E-09	3.80	2.9001E-09	4.07
4.8828E-04	4.9440E-10	3.96	1.8273E-10	3.99
2.4414E-04	3.1134E-11	3.99	1.1456E-11	4.00
1.2207E-04	1.9495E-12	4.00	7.1665E-13	4.00
6.1035E-05	1.2202E-13	4.00	4.5492E-14	3.98

3 — Entropie

Bilan d'entropie microscopique sur le transport :

$$\begin{aligned} & \sum_{\mathbf{x} \in \Delta x \mathbb{Z}^d} \Sigma(\mathbf{T}(\Delta t)(\mathbf{f}_1(\mathbf{x}), \dots, \mathbf{f}_q(\mathbf{x}))) \\ &= \sum_{\mathbf{x} \in \Delta x \mathbb{Z}^d} \sum_{k=1}^q s_k(\mathbf{f}_k(\mathbf{x} - \kappa \frac{\mathbf{v}_k}{V} \Delta x)) = \sum_{k=1}^q \sum_{\mathbf{x} \in \Delta x \mathbb{Z}^d} s_k(\mathbf{f}_k(\mathbf{x} - \kappa \frac{\mathbf{v}_k}{V} \Delta x)) \\ &= \sum_{k=1}^q \sum_{\mathbf{x} \in \Delta x \mathbb{Z}^d} s_k(\mathbf{f}_k(\mathbf{x})) = \sum_{\mathbf{x} \in \Delta x \mathbb{Z}^d} \Sigma(\mathbf{f}_1(\mathbf{x}), \dots, \mathbf{f}_q(\mathbf{x})). \end{aligned}$$

Bilan d'entropie microscopique sur la collision :

$$\Sigma(\mathbf{R}_{\omega=2}(\mathbf{f}_1, \dots, \mathbf{f}_q)) \neq \Sigma(\mathbf{f}_1, \dots, \mathbf{f}_q),$$

... sauf dans le cas linéaire $\varphi^j(\mathbf{u}) = \mathbf{A}^j \mathbf{u}$ avec l'entropie quadratique naturelle et des entropies cinétiques satisfaisant des relations de compatibilité avec celle-ci.

Stabilité entropique

On introduit le bilan d'entropie microscopique à travers la collision :

$$\Delta\Sigma_{(f_1, \dots, f_q)}(\omega) = \Sigma(\mathbf{R}_\omega(\mathbf{f}_1, \dots, \mathbf{f}_q)) - \Sigma(\mathbf{f}_1, \dots, \mathbf{f}_q).$$

A chaque relaxation, pour tout $\mathbf{x} \in \Delta_X \mathbb{Z}^d$ et donc chaque $\mathbf{f}_1(\mathbf{x}), \dots, \mathbf{f}_q(\mathbf{x})$, on résout

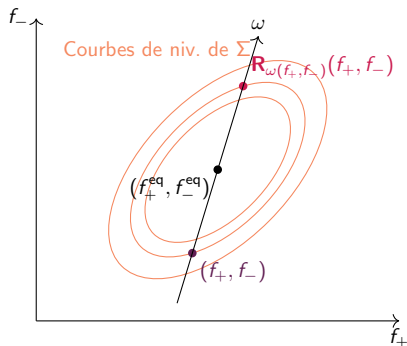
Trouver $\omega = \omega(\mathbf{f}_1, \dots, \mathbf{f}_q)$ tel que

$$\Delta\Sigma_{(f_1, \dots, f_q)}(\omega) = 0,$$

et on relaxe avec $\mathbf{R}_{\omega(\mathbf{f}_1, \dots, \mathbf{f}_q)}$.

Involution :

$$\mathbf{R}_{\omega(\mathbf{R}_{\omega(\mathbf{f}_1, \dots, \mathbf{f}_q)}(\mathbf{f}_1, \dots, \mathbf{f}_q))} \mathbf{R}_{\omega(\mathbf{f}_1, \dots, \mathbf{f}_q)}(\mathbf{f}_1, \dots, \mathbf{f}_q) = (\mathbf{f}_1, \dots, \mathbf{f}_q),$$



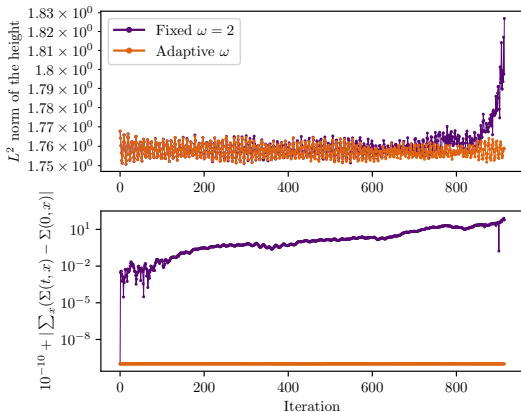
L'entropie de Lax diminue au cours des calculs :

$$\begin{aligned}\sum_{\mathbf{x} \in \Delta x \mathbb{Z}^d} S(\mathbf{u}(t, \mathbf{x})) &= \sum_{\mathbf{x} \in \Delta x \mathbb{Z}^d} \min_{\mathbf{u}(t, \mathbf{x}) = \sum_{k=1}^{k=q} \mathbf{f}_k} \Sigma(\mathbf{f}_1, \dots, \mathbf{f}_q) \\ &\leq \sum_{\mathbf{x} \in \Delta x \mathbb{Z}^d} \Sigma(\mathbf{f}_1(t, \mathbf{x}), \dots, \mathbf{f}_q(t, \mathbf{x})) \\ &= \sum_{\mathbf{x} \in \Delta x \mathbb{Z}^d} \Sigma(\mathbf{f}_1(0, \mathbf{x}), \dots, \mathbf{f}_q(0, \mathbf{x})) \\ &= \sum_{\mathbf{x} \in \Delta x \mathbb{Z}^d} \Sigma(\mathbf{f}_1^{\text{eq}}(\mathbf{u}(0, \mathbf{x})), \dots, \mathbf{f}_q^{\text{eq}}(\mathbf{u}(0, \mathbf{x}))) = \sum_{\mathbf{x} \in \Delta x \mathbb{Z}^d} S(\mathbf{u}(0, \mathbf{x})),\end{aligned}$$

l'avant-dernière égalité suppose qu'on parte à l'équilibre.

Test numériques : conservation de l'entropie

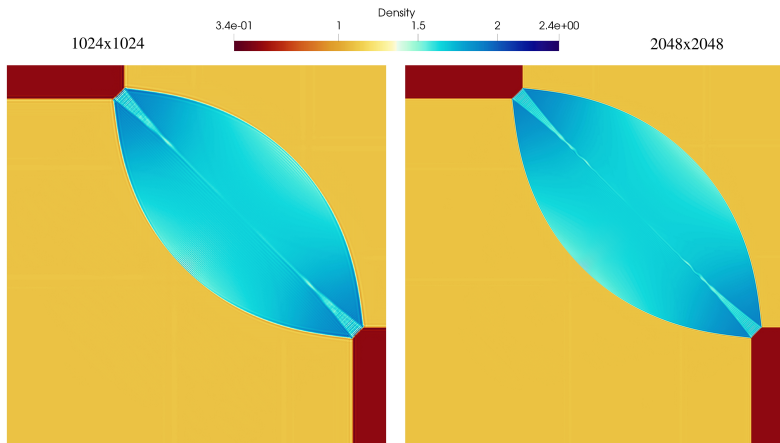
- Système de Saint-Venant 1D.
- Domaine $[0, 1]$ (périodique) et maillage de 100 points.
- Problème sur ω résolu par quasi-Newton.
- Données initiales $(h, u)(t = 0, x) = (2, 0)\chi_{x < 1/2} + (3/2, 2)\chi_{x \geq 1/2}$ à l'équilibre.
- Vitesse cinétique $V = 6$.



Test numériques : Euler en 2D avec Riemann

Euler 2D avec la configuration 4 de [Lax, Liu, '98]. On utilise

$$\phi(\Delta t) = \left(\mathbf{R}_{\omega=1} \psi \left(\frac{\Delta t}{6} \right) \right)^4 \mathbf{R}_{\omega=1} \psi \left(-\frac{\Delta t}{3} \right) \left(\mathbf{R}_{\omega=1} \psi \left(\frac{\Delta t}{6} \right) \right)^4$$



Implémentation parallèle sur carte graphique en OpenCL.

Conclusions :

- LBM d'ordre quatre pour tout système de loi de conservation.
Brique de base d'ordre deux symétrique + composition avec poids rationnels.
- Bat largement le schéma LBM d'ordre deux même à résolution faible.
- Stabilisation en entropie par modulation du paramètre de relaxation.

Perspectives :

- Limitation (à priori et à posteriori).
- Positivité.
- Conditions aux limites.
- Ordre six.

Merci beaucoup de votre attention !